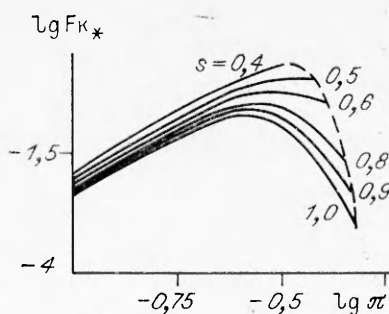


Рис. 3. Критические условия (в режиме с заданным перепадом давления  $\pi$ ).



ва: считаем, что  $d Fk_*/d\pi = 0$  вблизи  $\pi = 1/s$ , как при  $\beta = 0$ . Тогда, пренебрегая членами третьего порядка малости, найдем, что при  $s < 2$   $(\gamma + \beta) + \sqrt{(\gamma + \beta)^2 + 8\beta^2 + 16\gamma\beta}$  будет  $\pi_p < \pi_1$  и останется лишь монотонно растущей вместе с  $\pi$  участок  $Fk_*$ .

Таким образом, проведенный анализ показывает, что наличие дополнительного к химическому источнику нагрева расширяет область параметров, в которой тепловой взрыв вырождается. Такая ситуация должна приводить к тому, что срыв с устойчивого низкотемпературного состояния в этой области будет более мягким. Учет возможности вырождения в случае источника, обязанного вязкостной диссипации, вносит качественные изменения в зависимость критического значения химического тепловыделения от характеристики течения.

#### ЛИТЕРАТУРА

1. Марголин А. Д. // ЖФХ.—1963.—37, № 4.
2. Дик И. Г. Границы вырождения теплового взрыва в системе с дополнительным источником тепла // ФГВ.—1980.—16, № 4.
3. Бостанджиан С. А., Мержанов А. Г., Пручкина Н. М. // ПМТФ.—1968.—№ 5.
4. Столин А. М., Мержанов А. Г. Критические условия теплового взрыва при наличии химических и механических источников тепла // ФГВ.—1971.—7, № 4.
5. Мержанов А. Г., Столин А. М. Гидродинамические аналогии явлений воспламенения и потухания // ПМТФ.—1974.—№ 1.
6. Столин А. М. Тепловые режимы течения химически реагирующей вязкой жидкости в трубе конечной длины // ФГВ.—1975.—11, № 3.
7. Дик И. Г. Критические условия теплового взрыва при течении вязкой жидкости по каналу конечной длины // Там же.—1976.—12, № 1.
8. Мержанов А. Г., Зеликман Е. Г., Абрамов В. Г. // Докл. АН СССР.—1968.—180, № 3.

г. Томск

Поступила в редакцию 3/VII 1992

УДК 662.612.2

Н. Е. Ермолин

#### КИНЕТИЧЕСКИЕ ПАРАМЕТРЫ ФОРМАЛЬНЫХ ГАЗОФАЗНЫХ РЕАКЦИЙ ДЛЯ ТОПЛИВ НА ОСНОВЕ ПХА И ПОЛИБУТАДИЕНОВОГО КАУЧУКА

Описана методика расчета термокинетических параметров формальпой реакции вида  $v_1A_1 + v_2A_2 \rightarrow v_3A_3 + v_4P$ , аппроксимирующей многостадийный кинетический механизм. В диапазоне давлений  $p = 10 \div 100$  атм на основе функций тепловыделения кинетических механизмов, описывающих химическую структуру пламен ПХА и гомогенных смесевых твердых топлив, состоящих из ПХА и полибутадиенового каучука, получены стехиометрические коэффициенты  $v_i$  константа скорости и порядок реакции, термодинамические параметры реагентов  $A_i$  и конечного продукта реакции  $P$ .

© И. Е. Ермолин, 1993.

7 Физика горения и взрыва № 4, 1993 г.

В современных моделях горения смесевых твердых топлив (СТТ) [1–3] из-за сложности теоретического и экспериментального исследования реальный процесс в пламени часто описывается формальными стадиями вида  $v_1A_1 + v_2A_2 \rightarrow v_4P$ . При определении кинетических параметров широкое распространение получил закон действующих масс, константа скорости реакции представляется, как правило, в аррениусовской форме, зависимость процесса от давления определяется суммарным порядком реакции по реагентам.

Цель настоящей работы — получение функциональной зависимости кинетических параметров формальных стадий вида  $v_1A_1 + v_2A_2 \rightarrow v_3A_3 + v_4P$  от давления  $p$ , температуры  $T$  и состава для топлив на основе ПХА и полибутадиенового каучука (ПБК). При определении константы скорости  $k$  важную роль играет функция тепловыделения, построенная на основе многостадийного кинетического механизма.

Несколько иной подход, также основанный на функции тепловыделения, предложен в [4, 5], где получено  $k = A \exp(-E/RT)$  реакции  $v_1A_1 + v_2A_2 \rightarrow v_4P$  для озоновых (50 %  $O_3/50\% O_2$ ) водородно-воздушных (40 %  $H_2/60\% Air$ ) и метановоздушных (стехиометрический состав) ламинарных стационарных пламен. Порядок реакции по компонентам  $A_1$  и  $A_2$  полагался равным  $v_1$  и  $v_2$  соответственно. Суммарный порядок реакции  $n = e(v_1 + v_2)$  определялся из эмпирической зависимости скорости горения  $v$  от давления:  $v \approx p^{\delta}$ . Теоретической основой определения порядка служит известная зависимость  $v \sim p^{n/2-1}$  [6]. Такой выбор величины  $n$  позволяет ослабить зависимость параметров  $A$  и  $E$  от  $p$ , однако в случае метановоздушных пламен зависимость остается сильной. Так, при  $p = 0,1 \div 10$  атм  $A$  и  $E$  меняются [5]:  $A = 5,46 \cdot 10^6 \div 1,21 \cdot 10^{11}$ ,  $E = 13\,500 \div 47\,400$ .

В [7] в случае горения твердого топлива и неизвестного химического процесса предлагается определять кинетические параметры формальной стадии из экспериментально определенного температурного профиля. Для реакции в газовой фазе  $B_{gas\ react} \rightarrow C_{gas\ prod}$  по известному температурному профилю строится функция тепловыделения  $g = c_p m \frac{dT}{dx} - \frac{\partial}{\partial x} \lambda \frac{\partial T}{\partial x}$ , которая в соответствии с кинетической схемой аппроксимируется зависимостью

$$g = Q(\rho y_B)^n A \exp(-E/RT),$$

где  $Q$  — тепловой эффект реакции;  $\rho$  — плотность смеси;  $y_B$  — мольно-массовая концентрация реагента  $B$ . Параметры  $n$  и  $E$  определяются из системы уравнений

$$w = n\gamma + E, \quad n = \left( \frac{dw}{dT} \right) / \left( \frac{d\gamma}{dT} \right),$$

$$\text{где } w = RT^2 \frac{1}{g} \frac{dg}{dT}; \quad \gamma = RT^2 \frac{1}{\rho y_B} \frac{d}{dT} \rho y_B.$$

Метод требует определения производной четвертого порядка от температуры  $d^4T/dx^4$ . В [7]  $n$  и  $E$  — переменные и характеризуются значительным относительным изменением. В общем случае  $n$  не соответствует порядку реакции. В каждом конкретном случае степень отклонения  $n$  от истинного порядка реакции не известна.

**Метод расчета.** Термокинетические параметры реакции рассчитываются на основе системы уравнений, исключающей влияние эффектов вязкости, теплопроводности и диффузии на величину константы скорости. Система уравнений газовой динамики, описывающая одномерные стационарные течения газа в случае малых чисел Маха, имеет вид

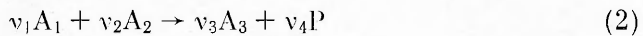
$$mc_p \frac{dT}{dx} = - \sum h_i \kappa_i \quad (h = \sum h_i z_i \equiv h_0),$$

$$m \frac{dz_i}{dx} = \kappa_i, \quad p = R \rho T / M, \quad 1/M = \sum z_i, \quad (1)$$

$$\kappa_i = \sum_{j=1}^L (v''_{ji} - v'_i) \left[ k_{jf} \prod_{\alpha=1}^N (\rho z_\alpha)^{v'_{j\alpha}} - k_{jb} \prod_{\alpha=1}^N (\rho z_\alpha)^{v''_{j\alpha}} \right],$$

где  $m$ ,  $T$ ,  $p$ ,  $\rho$ ,  $c_p$  — соответственно массовая скорость потока, температура, давление, плотность и теплоемкость смеси;  $R$  — универсальная газовая постоянная;  $x$  — пространственная координата;  $M_i$ ,  $\rho_i$ ,  $z_i = \rho_i/\rho M_i$ ,  $h_i$  — молекулярная масса, плотность, мольно-массовая концентрация и энталпия  $i$ -го компонента;  $L$  — число стадий;  $N$  — число компонентов;  $v'_{ji}$ ,  $v''_{ji}$  — стехиометрические коэффициенты  $i$ -го компонента в  $j$ -й стадии;  $k_{jf}$  ( $k_{jb}$ ) — константа скорости в прямом (обратном) направлении.

В общем случае многостадийный процесс горения включает в себя зоны индукции, основную и догорания окислов, образовавшихся в пламени. Тепловыделение в области индукции зависит в основном от начальных концентраций активных частиц. При их малых значениях изменения температуры и основных по массе компонентов малы и ими можно пренебречь. Основная зона характеризуется значительным ростом температуры от некоторого  $T_0$  до температуры пламени  $T_f$  и составляет предмет дальнейшего рассмотрения. Аппроксимируем детальный кинетический механизм одноступенчатой реакцией



со скоростью реакции по  $i$ -му компоненту

$$\kappa_i = (v''_i - v'_i) k_f \rho^n y_1^\alpha y_2^\beta. \quad (3)$$

Здесь и ниже  $A_4 = P$ ,  $y_i$  — мольно-массовая концентрация формального компонента  $A_i$ ;  $i = 1, 4$ ;  $n = \alpha + \beta$  — суммарный порядок реакции. Параметры формальной стадии будем находить из условия совпадения в основной зоне температурных профилей, рассчитанных по детальной и формальной кинетике. Согласно (1), (3), имеем

$$\begin{aligned} y_2 - y_{20} &= \frac{v_2}{v_1} (y_1 - Y_0), \quad y_3 - y_{30} = -\frac{v_3}{v_1} (y_1 - Y_0), \\ y_4 - y_{40} &= -\frac{v_4}{v_1} (y_1 - Y_0); \\ (Y_0 - y_1) Q &= v_1 \sum_{i=1}^4 \int_{T_0}^{T_f} c_{pi} y_{i0} dT, \\ Q &= Q_0 + \int_{T_0}^{T_f} Q_c dT, \quad Q_c = \sum_{i=1}^4 (v'_i - v''_i) c_{pi}, \end{aligned} \quad (5)$$

где индекс 0 относится к начальному состоянию;  $y_{10} = Y_0$ ;  $h_i = h_{i0} + \int_{T_0}^{T_f} c_{pi} dT$ ;  $Q = \sum_{i=1}^4 (v'_i - v''_i) h_i$  — тепловой эффект реакции;  $c_{pi}(T)$  — теплоемкость  $i$ -го компонента.

Пусть при изменении  $y_1$  от  $Y_0$  до  $Y_f$  температура меняется от  $T_0$  до  $T_f$ . Полагая  $\Delta Y = Y_0 - Y_f$ , из (5) получим

$$\Delta Y Q_f = v_1 \int_{T_0}^{T_f} \sum_{i=1}^4 c_{pi} y_{i0} dT, \quad Q_0 = Q_f - \int_{T_0}^{T_f} Q_c dT, \quad (6)$$

тогда энталпии компонентов оказываются связанными условием

$$\sum (v'_i - v''_i) h_{i0} = Q_0. \quad (7)$$

Еще одно соотношение следует из закона сохранения массы:

$$\sum (v'_i - v''_i) M_i = 0. \quad (8)$$

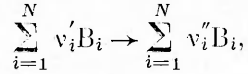
Кроме того, для адекватного моделирования теплофизических свойств смеси теплоемкости и молекулярные массы реальной и модельной смеси должны быть близки. Из (4) в общем случае следует  $z_i = z_i(T, p)$ , т. е. они не зависят от  $t$ . Тогда  $m dT/dx = F(T, p)$ , где  $c_p F = -\sum h_i \alpha_i$  — функция тепловыделения.

Чтобы температурный профиль, рассчитанный по детальной кинетике, совпал с полученным по формальной кинетике, необходимо выполнение соотношения

$$F(T, p) = \frac{Q}{c_p} \left( \frac{\rho M}{RT} \right)^n k_f y_1^\alpha \left[ y_{20} + \frac{v_2}{v_1} (y_1 - Y_0) \right]^\beta. \quad (9)$$

Здесь  $F$  — функция, определенная из численных расчетов с учетом детальной кинетики. Правая часть определена из (4) с использованием (3), (4). Из (5) для  $\Delta Y > 0$  и  $T_f > T_0$  следует  $Q > 0$ , поэтому в области с  $dT/dx > 0$  из (9) можно построить положительную функцию  $k_f = -k(T, p)$ , в общем случае сложным образом зависящую от  $p$ . Для построения  $k_f$  устанавливается формальное по самой постановке задачи соответствие трех компонентов полной модели и компонентов  $A_i$  ( $i = 1, 3$ ) упрощенной модели по термодинамическим параметрам, молекулярным массам и начальным значениям.

Далее, реальному процессу ставится в соответствие реакция



переводящая на заданном интервале  $[x_0, x_1]$  начальный состав  $z_{i0}$  в состав  $z_i$ . Тогда из (4) следует

$$m(z_i - z_{i0}) = (v''_i - v'_i) \int_{x_0}^x \alpha dx,$$

где  $(v''_i - v'_i)\alpha$  — скорость образования  $i$ -го компонента. По принятому соответствию из нормированных коэффициентов  $(z_i - z_{i0})/(z_h - z_{h0})$ , где  $k$  фиксировано, выбираются стехиометрические коэффициенты для  $A_i$ ,  $i = 1, 3$  реакции (2).

Как показывают расчеты на основе многостадийных кинетических механизмов, стехиометрические коэффициенты зависят от рассматриваемого сечения, поэтому используются их средние значения. Молекулярная масса и теплоемкость компонента  $A_4$  определяются из условия равенства их в характерной точке для полной и упрощенной модели. После их определения с учетом (7), (8) находятся энталпии  $h_4 = -A_1 + A_1 \cdot T$  кал/моль и стехиометрический коэффициент компонента  $A_4$ . Начальное значение компонента выбирается из условия нормировки. Функция  $k_f$  вычисляется из (9) при условии  $\alpha = \beta = \eta/2$ . Для определения порядка реакции рассчитанная численно при заданном составе и  $T_0$  функция  $F(T, p)$  представляется в виде  $F \approx f(T) p^{n(T)}$ . Из условия  $(p/p_0)^n = F(T, p)/F(T, p_0)$  находится функция  $\eta(T)$ , после чего рассчитывается средний порядок реакции  $n = \eta_{\text{ср}}$ .

**Термокинетические параметры формальных стадий в пламенах СТТ на основе ПХА и полибутадиенового каучука.** При рассмотрении пламени ПХА полагалось, что  $A_1$  — это вещество  $\text{HClO}_4$ ,  $A_2$  —  $\text{NH}_3$ ,  $A_3$  —  $\text{O}_2$ . Расчеты по определению  $F(T, p)$  проведены на основе данных и кинетического механизма [8] для  $0.5 \leq p \leq 100$  атм с константой скорости реакции  $\text{NH}_2 + \text{O}_2 = \text{HNO} + \text{OH}$ , равной  $6 \cdot 10^6 \cdot T^{1/2}$ . В начальном сечении варьировались температура ( $800 \leq T_0 \leq 870$  К) и мольные концентрации ( $0.036 \leq \alpha_{\text{HClO}_4} \leq 0.043$ ,  $0.064 \leq \alpha_{\text{NH}_3} \leq 0.102$ ,  $0.08 \leq \alpha_{\text{O}_2} \leq 0.2$ ).

Следует заметить, что молекулярная масса, энталпия конечного продукта  $A_4$ , а также стехиометрические коэффициенты и конечная температура пламени  $T_f$  при данных вариациях параметров слабо зависят от  $100$

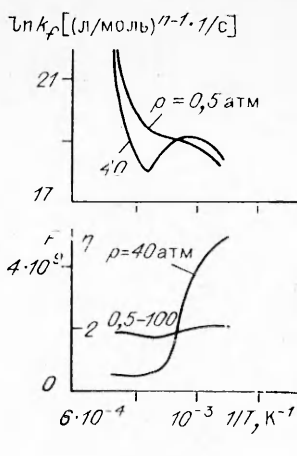
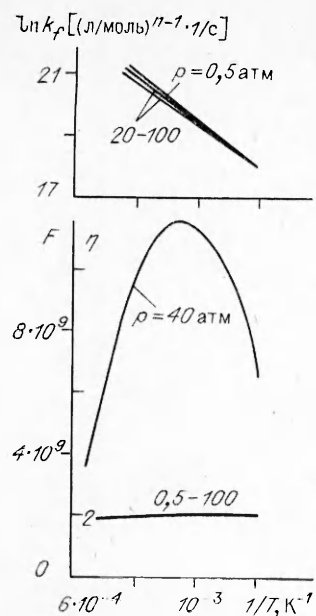


Рис. 2.

Рис. 1.

давления, а  $k_f = A \exp(-E/RT)$ . Значения  $k_f$  при  $800 \leq T_0 \leq 1400$  К несмотря на значительную вариацию начальных данных близки друг к другу. Так, в зависимости от варианта при  $800 \text{ К}$   $\lg k_f = 7,54 \div 7,9$ . Для одного из вариантов получены следующие термокинетические параметры:  $\alpha_{\text{HClO}_4} = 0,043$ ,  $\alpha_{\text{NH}_3} = 0,08$ ,  $\omega_{\text{O}_2} = 0,08$ ,  $T_0 = 800 \text{ К}$ ,  $M_4 = 28,41$ ,  $n = 1,977$ ,  $AI = -60,054$ ,  $A1 = 10,262$ ,  $v_1 = 1$ ,  $v_2 = 1,78$ ,  $v_3 = 1,4$ ,  $v_4 = 3$ .

$p$ , атм	$A$ , $(\text{l/mol})^{n-1} \cdot \text{l/c}$	$E/R$ , К	$T_f$ , К
0,5	$6 \cdot 10^{11}$	7786	1443
40	$5,5 \cdot 10^{11}$	7695	1443
100	$3,16 \cdot 10^{11}$	7216	1445

Типичные результаты расчетов приведены на рис. 1 для случая  $\alpha_{\text{HClO}_4} = 0,043$ ,  $\alpha_{\text{NH}_3} = 0,102$ ,  $\alpha_{\text{O}_2} = 0,2$ ,  $T_0 = 800$  К. Константа скорости слабо зависит от давления и хорошо аппроксимируется аррениусовой зависимостью. Порядок реакции практически не зависит от давления и близок к 2. Однако, если для реакции  $\text{NH}_2 + \text{O}_2 = \text{HNO} + \text{OH}$  принять  $k = 4 \cdot 10^9 \exp(-25000/RT)$  [9], то аппроксимация  $k_f$  аррениусской зависимостью становится неудовлетворительной (рис. 2). В этом случае сильны зависимости  $k(p)$  при  $n = \text{const}$  и  $\eta(T)$ , так что средний порядок реакции уже не близок 2.

При определении термокинетических параметров в пламенах СТТ, состоящих из ПХА и ПБК, использовались экспериментальные данные [10, 11] по горению гомогенных составов ПХА/ПБК 77/23 и 84/16 (рис. 3). Используемый для определения  $F(T, p)$  кинетический механизм получен на основе [10] путем выделения существенных стадий и состоит из 33 компонентов и 84 обратимых стадий. При определении  $k_f$  полагалось  $A_1 = \text{HClO}_4$ ,  $A_2 = \text{C}_4\text{H}_6$ ,  $A_3 = \text{CO}$ . На функцию  $\eta$  для указанных составов давление практически не влияет (см. рис. 3), но в отличие от ПХА сильно влияет температура. На рис. 4 представлена зависимость  $k_f$  от  $T$  и  $p$ .

Сложная связь константы скорости с температурой объясняется многостадийностью.

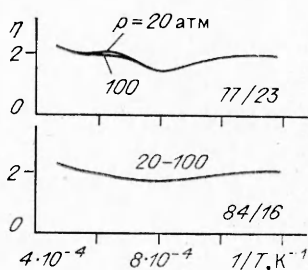


Рис. 3.

Таблица 1

Состав	$p$ , атм	$T_0$ , К	$T_f$ , К	$\frac{M_1}{\text{КГ/МОЛЬ}}$	$\frac{A_1}{\text{КАЛ/МОЛЬ}}$	$\frac{A_1}{\text{КАЛ/МОЛЬ}\cdot\text{К}}$	$n$	$v_1$	$v_2$	$v_3$	$v_4$	$\left(\frac{A}{\text{КАЛ/МОЛЬ}}\right)^{n-1} \cdot \frac{1}{c}$	$E$ , кал/моль
НХА/ПВК 77/23	0,59		2500		-104860					2,47	4,035		
	40	800	2650	24,7	-120050	12,232	1,782	1	1,267	2,65	3,84	$7,6 \cdot 10^{10}$	14 955
	100		2700		-138080					3,43	3,29		
НХА/ПВК 84/16	0,08		2400		-80 414					1,22	4,83		
	40	800	2550	26,6	-88 749	12,405	1,782	1	1,15	1,21	4,83	$6,3 \cdot 10^9$	9 349
	100		2600		-97 855					1,7	4,34		

Таблица 2

$p$ , атм	$T_0$ , К	$T_f$ , К	$\frac{M_1}{\text{КГ/МОЛЬ}}$	$\frac{A_1}{\text{КАЛ/МОЛЬ}}$	$\frac{A_1}{\text{КАЛ/МОЛЬ}\cdot\text{К}}$	$n$	$v_1$	$v_2$	$v_3$	$v_4$	$\left(\frac{A}{\text{КАЛ/МОЛЬ}}\right)^{n-1} \cdot \frac{1}{c}$	$E$ , кал/моль
0,26		2453		-70 435				0,3		1,379		
	40	1400	2851	29,3	-78 857	12,51	1,93	0,52	0	1,587	$2,7 \cdot 10^{10}$	24 200
	100		2900		-79 540			0,558		1,62		

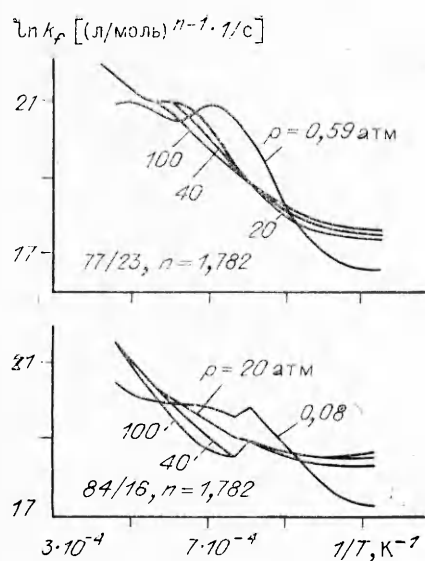


Рис. 4.

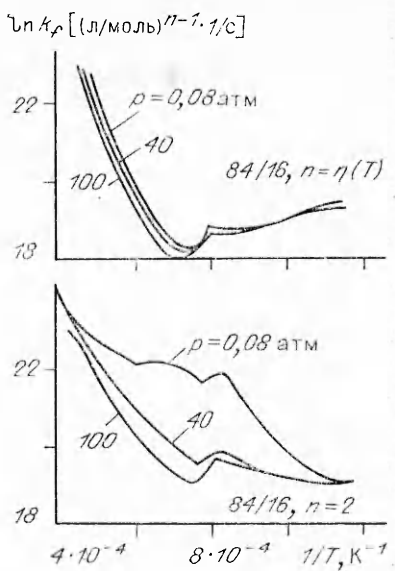


Рис. 5.

Процесс образования и расхода основных по массе компонентов характеризуется двумя стадиями,

1)  $T \approx 800 \div 1750$  К (77/23),  $800 \div 2000$  К (84/16); полный расход  $\text{C}_4\text{H}_6$ ,  $\text{HClO}_4$ ,  $\text{ClO}_2$ , частичный расход  $\text{NH}_3$ , частичное образование и расход  $\text{ClOH}$ ,  $\text{O}_2$ ,  $\text{H}_2$ ,  $\text{C}_2\text{H}_2$ ,  $\text{CO}$ . Образование  $\text{HCN}$ ,  $\text{H}_2\text{O}$ ,  $\text{HCl}$ ,  $\text{CO}_2$ .

2)  $T \approx 1750 \div 2500$  К (77/23),  $2000 \div 2500$  К (84/16); полный расход  $\text{O}_2$ ,  $\text{ClOH}$ ,  $\text{C}_2\text{H}_2$ , частичный расход  $\text{NH}_3$ ,  $\text{HCN}$ . Образование  $\text{H}_2\text{O}$ ,  $\text{HCl}$ ,  $\text{N}_2$ ,  $\text{CO}$ ,  $\text{CO}_2$ ,  $\text{H}_2$ . Термокинетические данные для указанных составов приведены в табл. 1. Разброс констант сильно зависит от порядка реакции. Так, для переменного порядка ( $n = \eta(T)$ )  $k_f$  слабо зависит от  $p$  (рис. 5). Для  $n = 2$  разброс констант максимальен. Для  $n = 1.782$  (средний порядок) зависимость  $k_f(p)$  показана на рис. 4. В этом случае отклонение приведенных в табл. 1 прямых  $\ln k_f = \ln A - E/RT$  от соответствующих кривых на рис. 4 не превышает единицу.

Представляет интерес определить термокинетические параметры реакции в диффузионном пламени, возникающем при горении гетерогенных СТТ у границы раздела окислитель — связующее. Согласно данным [12] по горению слоевой системы, состоящей из пластин ПХА и активного связующего ПХА/ПВК 57/43, основными реагентами в слое смешения являются  $\text{O}_2$ ,  $\text{H}_2$ ,  $\text{CO}$ ,  $\text{HCN}$ ,  $\text{C}_2\text{H}_2$ . Для расчетов по определению термокинетических параметров полагалось, что  $A_1$  — это  $\text{O}_2$ ,  $A_2$  —  $\text{CO}$ , а  $v_3 = 0$ . Варьировалось содержание активных компонентов ( $0.12 \leq \alpha_{\text{O}_2} \leq 0.2$ ,  $0.01 \leq \alpha_{\text{HCN}} \leq 0.05$ ). Многостадийность процесса отражена на кривой тепловыделения (рис. 6) и обуславливает в основном отклонение  $k_f$  от аррениусской зависимости.

На первой стадии процесса  $T \approx 1400 \div 1550$  К, образуются  $\text{CO}$ ,  $\text{H}_2\text{O}$ ,  $\text{CO}_2$ . Частично

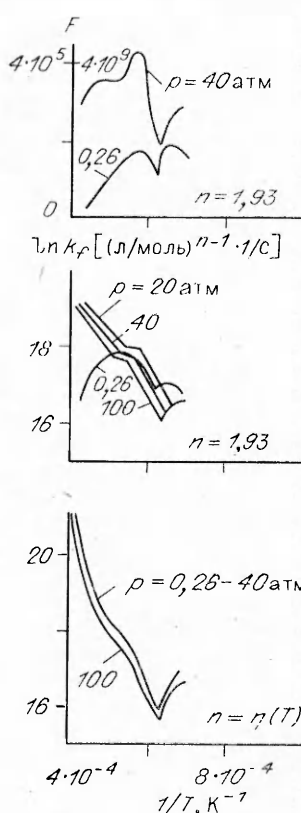


Рис. 6.

расходуются  $O_2$ ,  $H_2$ ,  $HCN$ ,  $C_2H_2$ ,  $HCl$ . Излом на кривой теплобыдления рис. 6 при  $T \approx 1550$  К характеризуется максимумом концентрации  $CO$ . На второй стадии ( $T \approx 1550 \div 2600$  К) образуются  $H_2O$ ,  $CO_2$ ,  $HCl$ , частично расходуются  $O_2$ ,  $H_2$ ,  $CO$ , а полностью —  $HCN$ ,  $C_2H_2$ . Типичная зависимость  $\ln k_f$  от  $T$ ,  $p$  и  $n$  приведена на рис. 6 для  $\alpha_{O_2} = 0,2$ ,  $\alpha_{HCN} = 0,05$ . Сильное влияние давления обусловлено принятым постоянным порядком  $n = 1,93$ ; для переменного порядка  $\ln k_f$  слабо зависит от давления.

Рекомендуемые термокинетические параметры приведены в табл. 2. Отношение значений рекомендованной константы скорости к значениям  $k_f$ , приведенным на рис. 6, для  $20 \leq p \leq 100$  атм и  $n = 1,93$  не превышает число  $e$ .

#### ЛИТЕРАТУРА

- Бекстед М. В., Дэрр Р. Л., Прайс С. Ф. Модель горения смесевого ТРТ, базирующаяся на нескольких типах пламени // РТК.—1970.—8, № 2.—С. 107—117.
- Гайрао С., Вильямс Ф. А. Модель процесса дефлаграции перхлората аммония при давлении 196—981 Па/см<sup>2</sup> // Там же.—1971.—9, № 7.—С. 164—179.
- Козин И. С., Стрэнд Л. Д. Уточненная модель горения смесевых твердых топлив на основе перхлората аммония // Аэрокосм. техника.—1983.—1, № 7.—С. 100—112.
- Coffee T. P., Kollar A. J., Miller M. S. The overall reaction concept in premixed, laminar, steady-state flames. I. Stoichiometries // Combust. Flame.—1983.—54, N 1—3.—P. 155—169.
- Coffee T. P., Kollar A. J., Miller M. S. The overall reaction concept in premixed, laminar, steady-state flames. II. Initial temperatures and pressures // Ibid.—1984.—58, N 1.—P. 59—67.
- Зельдович Я. Б., Баренблагт Г. И., Либрович В. Б. и др. Математическая теория горения и взрыва.—М.: Наука, 1980.
- Miller M. S., Kollar A. J., Coffee T. P. et al. The overall reaction concept in combustion modeling.—Milano (Italy), 1990.
- Ермолин И. Е., Коробейничев О. П., Терещенко А. Г. и др. Моделирование кинетики и механизма химических реакций в пламени перхлората аммония // Хим. физика.—1982.—№ 12.—С. 1711—1717.
- Miller J. A., Bowman C. T. Mechanism and Modeling of nitrogen chemistry in combustion // Progr. in Energy and Combustion Sci.—1989.—15.—P. 287—338.
- Коробейничев О. П., Чернов А. А., Емельянов Н. Д. и др. Исследование кинетики и механизма химических реакций в пламени смесевого состава на основе ПХА и полибутидепеноового каучука // ФГВ.—1990.—26, № 3.—С. 46—55.
- Коробейничев О. П., Ермолин И. Е., Чернов А. А. и др. Структура пламени, кинетика и механизм химических реакций смесевого состава на основе перхлората аммония и полибутидепеноового каучука // Там же.—1992.—28, № 4.—С. 53—59.
- Коробейничев О. П., Терещенко А. Г., Шварцберг В. М. и др. Исследование структуры пламени слоевых систем на основе ПХА // Там же.—1990.—26, № 2.—С. 53—58.

г. Новосибирск

Поступила в редакцию 16/VII 1992

УДК 532.529

А. Н. Пожарский, А. Г. Иванов

#### ВЗРЫВНОЕ ИНИЦИРОВАНИЕ БЫСТРОГО КОНВЕКТИВНОГО ГОРЕНИЯ В ЗАМКНУТОМ ОБЪЕМЕ

Экспериментально исследовано взрывное инициирование зерпеной питроклетчатки, проходящее в режимах быстрого конвективного горения и пылескоростной детонации, отличающееся повышенной интенсивностью и стабильностью. Определены основные закономерности процесса воспламенения.

Конвективное горение (КГ) — наиболее нестабильная стадия в процессе перехода горения пористых ВВ в детонацию. Проведенные в последнее время исследования переходных процессов горения дисперсных

© А. Н. Пожарский, А. Г. Иванов, 1993.